# ランダムな初期通り変位波形を持つ軌道の温度座屈確率の評価

学「土] 〇岩井翔(新潟大院)

正「土]阿部和久(新潟大)

正[土]紅露一寬(新潟大)

# Evaluation of the temperature buckling probability of a rail with a random initial lateral deflection

Kakeru IWAI, Niigata Univ. 8050, Ikarashi, 2-no-cho, Nishi-ku, Niigata City Kazuhisa ABE, Niigata Univ. 8050, Ikarashi, 2-no-cho, Nishi-ku, Niigata City Kazuhiro KORO, Niigata Univ. 8050, Ikarashi, 2-no-cho, Nishi-ku, Niigata City

Influence of the stochasticity in initial lateral deflection of continuous welded rails on the probability of snap through buckling of the track is investigated. For this purpose, the Monte Carlo simulation is performed, in which a number of initial lateral deflections are generated as random data according to an autocorrelation function. Through the numerical simulation, influence of statistical parameters of the auto- correlation function on the probability distribution of rail buckling temperature is examined. Furthermore, from the viewpoint of the buckling probability, efficiency of the evaluation method for track stability based on the snap through buckling is discussed.

**Key words:** Monte Carlo simulation, probability density function, snap through buckling, rail thermal stress

## 1. はじめに

レールの継ぎ目は軌道破壊や振動, 騒音を引き起こす軌道の弱点箇所であり, 解決策としてロングレールの導入が有効と考えられている. しかし, ロングレールは気温上昇に伴うレール軸力の発生から座屈の危険性が高いという問題を抱えている. そのため, 軌道保守の面において軌道座屈挙動の正確な把握が重要となっている.

軸力ゼロの状態からのレール相対温度に対する軌道のつり合い経路の例を 図 1 に示す. 現在、軌道の管理基準は安全性を十分に考慮し,不安定解が取り得る最低値である B 点の最低座屈強さ (温度) に基づいて評価されている. 本来,座屈が発生する温度は不安定なつり合い状態に達し,飛び移り座屈を起こす A 点であり,その温度に基づいた軌道安定性を評価する方が合理的だと考えられる. そのため近年,飛び移り座屈点に基づいた軌道の安定性評価の検討がなされ始めている  $1^{12}$ ).

既往の研究では、軌道の初期通り変位波形を座屈波形に準ずる特定の波形にのみ設定し、確定論的に座屈温度を算出している。しかし、実際の軌道形状を鑑みると、ランダムな初期通り変位波形を与えた軌道での解析の方が現実に即していると言える。軌道の座屈温度は初期不整鋭敏性を有する事からも初期変位の形状は結果を左右する重要な要素であり、ランダムな軌道形状で解析を行い、座屈温度を確率論的に議論すべきであると考えられる<sup>3)</sup>.

本研究では、ランダムな初期通り変位を有する軌道に温 度応力を与え、モンテカルロシミュレーションを実施し、 座屈温度の確率特性を調べる.具体的には,ランダム波形を生成する距離相関の標準偏差と相関長を変化させ,飛び移り座屈温度の確率分布に及ぼす影響を調べる.また,飛び移り座屈に基づく軌道の安定性評価の議論をするため,最低座屈温度に対する余裕度を確率論的に評価する.

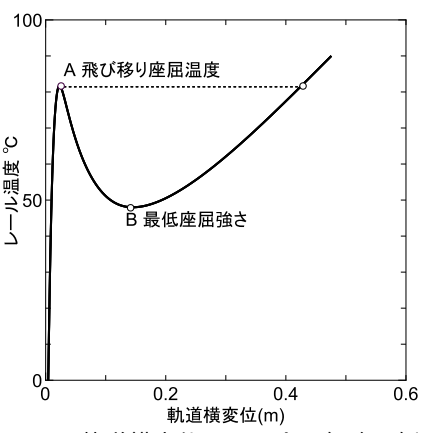
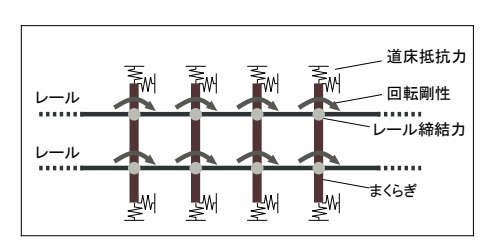


Fig.1 軌道横変位のつり合い経路の例



**Fig.2** 軌道モデル

#### 2. 解析手法

## 2.1 軌道モデル

軌道は 図 2 に示すような左右ロングレールとまくらぎから構成される軌きょうによりモデル化する。レールは、横方向のたわみと長手方向の伸縮を考慮した Euler ばり要素で与え、有限たわみ理論のもとに有限要素で離散化する。また、まくらぎは等間隔 L で配置し、横方向と軌道長手方向の変位を考慮した剛な棒として与える。レールとまくらぎの締結部には、回転バネ $k_R$  と横方向バネ $k_T$  を設定した。また、まくらぎに作用する道床横抵抗力  $f_L$  については次の非線形式で与える。

$$f_T = f_{0T} \frac{u_{ST}}{a_T + |u_{ST}|}$$

$$f_L = f_{0L} \frac{u_{SL}}{a_T + |u_{SL}|}$$
(1)

ここで  $u_{ST}$ ,  $u_{SL}$  はまくらぎの横変位と軌道長手方向の変位,  $f_{0T}$ ,  $f_{0L}$  は最終道床横・縦抵抗力,  $\alpha_T$ ,  $\alpha_L$  は作用力が最終道床横・縦抵抗力の 1/2 を与えるときの変位である. ただし, 道床横抵抗力はまくらぎ一本分に対応するのに対し, 道床縦抵抗力は 図 2 に示すようにレールー本分 (まくらぎ 1/2 本分) に対応して設定する.

### 2.2 初期通り変位波形の生成

本研究では、長さ L の軌道区間において、ランダムな初期通り変位波形を設定する。軌道検測装置により過去に取得された通り変位の 10m 正弦矢データ  $^{4)}$  から、原波形の距離相関は概ね次式で表せると推測される。

$$R(x) = \sigma^2 e^{-\left(\frac{x}{l}\right)^2} \tag{2}$$

ここで、 $\sigma$  は通り変位波形の標準偏差、l は相関長である、対象区間を N 等分割し、各分割点  $x_i$  を次式で設定する、なお  $x_0=0$  と  $x_N=L$  の点において波形振幅はゼロとする.

$$x_i = i\Delta x \ (i = 0, \cdots, N), \ \Delta x = \frac{L}{N}$$
 (3)

レール通り変位波形の  $x_i$  における値を  $w_i$  とし、その離散 データを成分とするベクトルを  $\{W_0\}$  とすると、当該ベクトルに関する分散・共分散行列 [C] は次式で与えられる.

$$[C] = E(W_0 \cdot W_0^{\mathrm{T}}) \tag{4}$$

初期通り変位波形ベクトル  $\{W_0\}$  を期待値がゼロであり、且つ式 (5) の分散・共分散行列で与えられる正規確率過程に従うものとすると、 $\{W_0\}$  は次式により生成することができる.

$$\{W_0\} = [\Phi][\Lambda^{1/2}]\{\xi\} \tag{5}$$

ここで,  $[\Lambda^{1/2}]$  は行列 [C] の正の固有値の平方根を対角項に持つ対角行列,  $[\Phi]$  はそれに対応する固有ベクトルを縦ベクトル成分に持つ行列である.  $\xi$  は期待値ゼロ, 分散 1 の標準正規分布に従う確率変数ベクトルである.

#### 2.3 モンテカルロ法における軌道座屈解析

本研究では、式(2)に従うランダムな通り変位波形を式(5)に基づき多数生成し、各々の波形の下で軌道座屈解析を行い飛び移り座屈温度を求めるモンテカルロシミュレーションを実施する。その際の軌道力学解析では、有限変位理論に基づきレールをはり要素で離散化する。なお、通り変位をランダムな波形で設定する場合、座屈発生個所が特定できないため、所定のはり要素節点のたわみを制御変数とした変位増分解析は適用できない。そこで、節点変位ベクトルとレール温度とで与えられる一般座標空間において弧長増分法5)を適用し、つり合い経路上の飛び移り座屈点と最低座屈強さを探索する手法を採った。

#### 2.4 確率密度関数の設定

上記の手法より得られた飛び移り座屈点と最低座屈強さに関する確率密度分布を求める。確率密度関数は有限な分布域を持つベータ分布により作成した。ベータ分布の確率密度関数 p(t) は次式で与えられる。

$$p(t) = \frac{(t - t_1)^{q-1} (t_2 - t)^{r-1}}{B(q, r)(t_2 - t_1)^{q+r-1}}$$
(6)

$$B(q,r) = \frac{\Gamma(q)\Gamma(r)}{\Gamma(q+r)} \tag{7}$$

ここで,  $t_1$ ,  $t_2$  は分布域の下限と上限, q, r は分布のパラメータ,  $\Gamma(\cdot)$  はガンマ関数である.

q, r は座屈温度分布の期待値  $\mu_t$  と分散  $\sigma_t^2$  から次式により決定する事ができる.

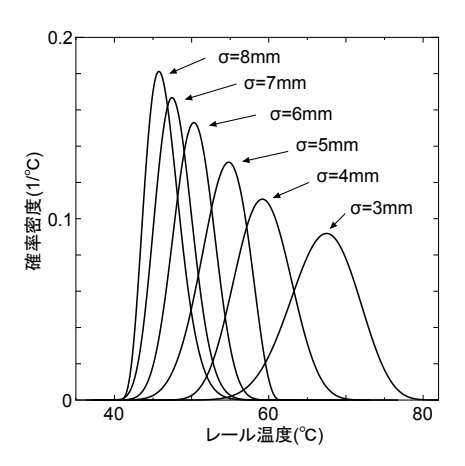
$$q = \frac{\mu_t - t_1}{t_2 - t_1} \left\{ \frac{1}{\sigma_t^2} (\mu_t - t_1)(t_2 - \mu_t) - 1 \right\}, \quad (8)$$

$$r = \frac{t_2 - \mu_t}{t_2 - t_1} \left\{ \frac{1}{\sigma_t^2} (\mu_t - t_1)(t_2 - \mu_t) - 1 \right\}$$
 (9)

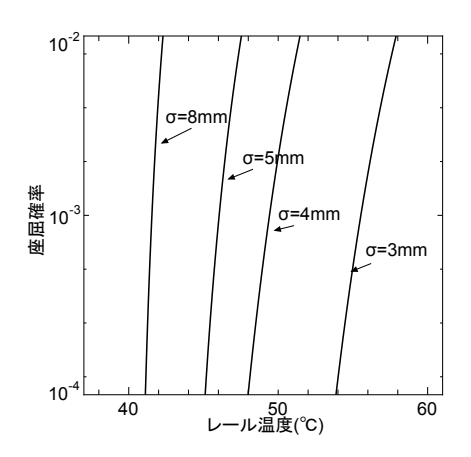
なお、確率密度関数の分布域の上限値と下限値  $t_1$ ,  $t_2$  は、得られた確率密度分布とベータ分布により導出した確率密度関数に関してカイ二乗検定により適合度の検定を行い、その評価値が最小となるように最適化して設定している.

Table 1 各種物性値

Table I 古恒加压恒	
$EI (N \cdot m^2)$	$6.63 \times 10^5$
EA (GPa)	$1.32 \times 10^9$
<i>α</i> (1/°C)	$12 \times 10^{-}6$
L (m)	0.6
$k_T  ({ m N/m})$	$40 \times 10^{6}$
$k_R  ({\rm N/rad})$	$2 \times 10^{4}$
$f_{0T}$ (N)	5500
$a_T \text{ (mm)}$	1.0
$f_{0L}$ (N)	2500
$a_L \text{ (mm)}$	1.0



 ${f Fig.3}$  通り変位の標準偏差が飛び移り座屈の確率密度関数に及ぼす影響  $(l=1.7{f m})$ 



 ${f Fig.4}$  通り変位の標準偏差がレール温度と飛び移り座屈の座屈確率との関係に及ぼす影響  $(l=1.7{f m})$ 

# 3. 解析条件

図 2 に示したとおり、軌道を左右ロングレールと離散まくらぎから構成される軌きょうによりモデル化した. 以下の解析では 50 kgN レールを想定し、レールや道床横・縦抵抗力に関する各種設定値を  $\mathbf{表}\,\mathbf{1}$  のように与えた. なお、 $\mathbf{表}\,\mathbf{1}$  において EI, EA,  $\alpha$  はレールの曲げ剛性、伸び剛性および線膨張係数である.

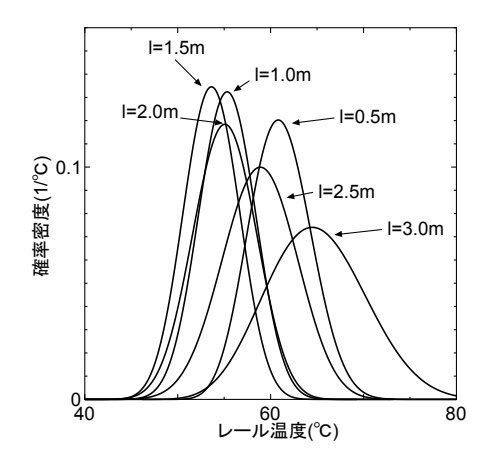
左右レールともにまくらぎ1区間 (0.6m) をはり要素で2等分割し, 軌道をまくらぎ1200区間 (720m) で与えた. 軌道座屈解析において, レール両端に固定条件を課す解析事例も見受けられるが, それによる力学条件の擾乱が座屈域や座屈強度などに影響を及ぼす事が懸念される. そのため, 本解析では, 軌道 (レール) 両端は変位拘束せず, 道床縦抵抗力の作用下で伸縮を許容する様に設定した.

なお,本研究でのモンテカルロシミュレーションにおける解析ケース数が確率分布に及ぼす影響を調べた結果に基づき,以下の計算では解析ケース数を 1000 として設定した.

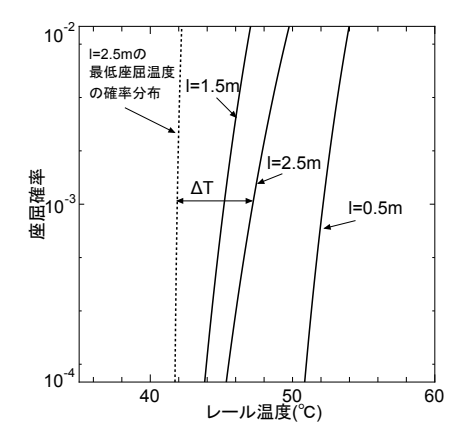
# 4. 解析結果

## 4.1 通り変位波形の標準偏差が座屈確率に及ぼす影響

通り変位波形の距離相関を与える式 (2) における相関 長を l=1.7m で固定し、標準偏差  $\sigma$  を 3mm から 8mm



 ${f Fig.5}$  通り変位の相関長が飛び移り座屈の確率密度関数に及ぼす影響  $(\sigma=5mm)$ 



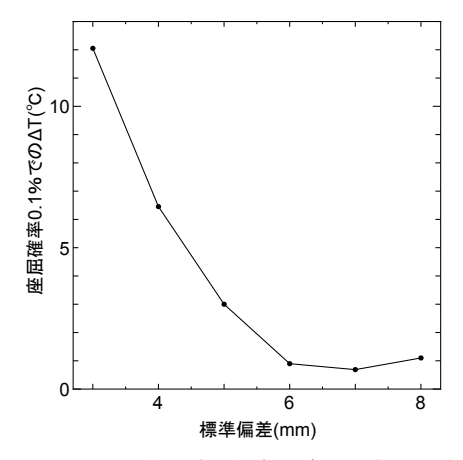
**Fig.6** 通り変位の相関長がレール温度と飛び移り座屈の 座屈確率との関係に及ぼす影響  $(\sigma = 5mm)$ 

の範囲で変化させた際の飛び移り座屈の確率密度関数を図3に示す。図より、標準偏差の増加に伴い温度の分布域は低くなる傾向にあり、それと共に確率密度関数の分散も小さくなっている事が分かる。標準偏差 $\sigma$ の変化に対する座屈温度分布域の低下度合いは、 $\sigma$ が小さくなるほど顕著となっている。このことより、ランダムな初期通り変位波形を生成した結果、前述した座屈温度の初期不整鋭敏性が変位波形の統計量である標準偏差 $\sigma$ に反映されている事が分かる。

続いて、レール温度と座屈確率との関係に、通り変位波形の標準偏差  $\sigma$  が及ぼす影響を 図 4 に示す.なお、図には  $\sigma$ =3,4,5,8mm の場合を示しているが、確率密度関数と同様に、レール温度と座屈確率との関係には標準偏差  $\sigma$  に大きく依存することが確認できる.また、図示の座屈確率の範囲内においては、標準偏差  $\sigma$  の増加に伴う座屈温度の低下量は、座屈確率のレベルによらず概ね一定値を示しており、 $\sigma$  が 3mm と 8mm では、同じ座屈確率を与えるレール温度に 15  $\mathbb C$ 以上の差が認められた.

# 4.2 通り変位波形の相関長が座屈確率に及ぼす影響

式 (2) における標準偏差を  $\sigma=5$ mm で固定し、相関長 l を 0.5m から 3.0m の範囲で変化させた際の確率密度関数を 図  $\mathbf{5}$  に示す.図  $\mathbf{3}$  の標準偏差を変化させた場合に比べ、設定した相関長の範囲で見る限り、相関長 l が確率密



 ${f Fig.7}$  通り変位の標準偏差が飛び移り座屈温度と最低座 屈温度の温度差に及ぼす影響  $(l=1.7{f m})$ 

度関数の分布域に及ぼす影響は比較的小さい事が分かる. また, レール温度の分布域 (期待値) は  $l=1.5\mathrm{m}$  付近で最小値を示し, その値から遠ざかるほど座屈温度は高くなる傾向にある. これは, 座屈波形の主要な波数成分が, l を  $1.5\mathrm{m}$  付近に設定した場合のランダム波形において最も多く含まれている事によるものと考えられる.

また、図 6 に示した通り変位の相関長 l がレール温度と座屈確率との関係に及ぼす影響においても標準偏差  $\sigma$  に比べると、その差は小さい事が分かる。それでも、図示の範囲内で 5  $\mathbb{C}$  以上の温度差が認められ、座屈安定性の評価に当たって適切な相関長の把握も重要となる.

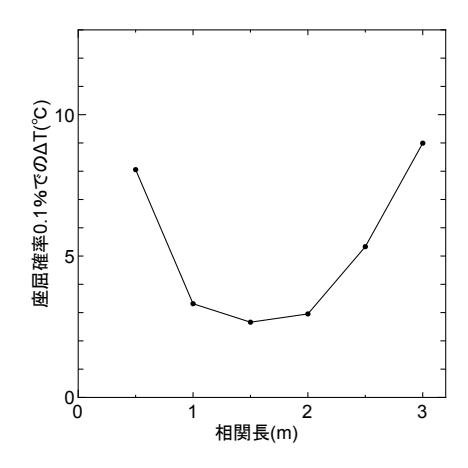
# 4.3 最低座屈強さに対する余裕度

飛び移り座屈温度に基づいた軌道の安定性評価のために、現在の管理基準である最低座屈温度と飛び移り座屈温度の確率論的な余裕度について検討する。 図 6 の点線で示したのは相関長 l=2.5m の最低座屈温度の確率分布であり、同確率での飛び移り座屈温度との温度差を  $\Delta T$  とする。通り変位の標準偏差と相関長を変化させ、得られた最低座屈温度と飛び移り座屈温度の座屈確率が 0.1 %における温度差  $\Delta T$  を 図 7、図 8 に示した。

図 7 より、標準偏差の増加に従い温度差  $\Delta T$  は減少する傾向にある. 標準偏差が 5mm 以上になると  $\Delta T$  は 5  $^{\circ}$  以下であり、十分な余裕度を確保できているとは言い難いが、4mm 以下であれば 5  $^{\circ}$  以上のある程度の余裕度を有している事が分かる.

図 8 より、相関長 l=1.5m 付近で最小値を取り、l=0.5m 以下、または l=2.5m 以上で 5  $^{\circ}$ C以上の余裕度を有している事が分かる。また、図示した相関長の範囲内での  $\Delta T$  の最大値と最小値の差をみると、標準偏差を変化させた場合と比べ変動幅が小さい事が分かる。

ここで、UIC(国際鉄道連合) $^{6}$ ) の判定基準では、飛び移り座屈温度と最低座屈温度の温度差が 20  $^{\circ}$ C以上ならば、その差の 1/4 を最低座屈温度に余裕を持たせた温度として設定している。このように、ある程度の余裕が確認できれば  $^{\circ}$ C以上の緩和ができるとされている。座屈確率 0.1%時における飛び移り座屈温度と最低座屈温度の確率論的な温度差が  $^{\circ}$ C以上となるケースが、UIC の緩和基準



 ${f Fig. 8}$  通り変位の相関長が飛び移り座屈温度と最低座屈温度の温度差に及ぼす影響 ( $\sigma=5{
m mm}$ )

と概ね対応しているものと考えられる.

## **5.** おわりに

本研究では、軌道の初期通り変位波形におけるバラツキが、飛び移り座屈時のレール温度の確率分布特性に及ぼす影響について検討した。そのために、初期通り変位をランダムな波形に設定し、通り変位波形の距離相関における標準偏差と相関長を変化させ、モンテカルロシミュレーションを行った。その結果、標準偏差による影響の方が相関長によるものよりも大きいという事が分かった。

また, 飛び移り座屈温度と最低座屈温度との確率論的な温度差を求め, 余裕度がどれほど確保できるかを調べた. 座屈確率 0.1 %で比較した場合, 標準偏差が 4mm 以下で,相関長が 1~2m 以外という条件ならば, 5 ℃以上の座屈管理基準の緩和の可能性がある事が分かった.

謝辞 本研究は科研費 (20K04661) の助成を受けたものである. ここに記して謝意を表する.

# 参考文献

- 1) 西宮裕騎, 片岡宏夫:座屈発生点を考慮したロングレールの座屈安定性の評価法に関する一考察, 鉄道工学シンポジウム論文集, 第 20 号, 9-15, 2016.
- 2) 藪中嘉彦, 高尾賢一, 吉川秀平: 杭工法による道床横抵 抗力増加メカニズムと座屈発生点の検証, 鉄道工学シン ポジウム論文集, 第23号, 261-266,2019.
- 3) 阿部和久,水野雄太,紅露一寛:通り変位波形における バラツキが軌道座屈強度の確率特性に及ぼす影響,第24 回鉄道工学シンボジウム論文集,pp.167-174,2020.
- 4) 千葉颯兵, 阿部和久, 小松佳弘, 紅露一寛: 通り変位測定 データに基づくレール軸力推定法に関する理論的検討, J-RAIL2017, CD-ROM, S2-14-4, 2017.
- 5) 岩崎英治, 松野純一, 長井正嗣: 弧長法のための一反復 解法と弧長自動設定法, 応用力学論文集, Vol.5,pp.207-216,2002.
- Coebraad Esveld: Modern Railway Track Second Edition, MRT Productions ,1989.